

以 Mn_3O_4 为前驱体制备 尖晶石型 $LiMn_2O_4$ 及其性能

王英平¹, 王先友¹, 魏小山², 魏启亮¹, 杨秀康¹, 杨顺毅¹, 舒洪波¹, 白艳松¹, 吴强¹

(1. 湘潭大学 化学学院 环境友好化学与应用教育部重点实验室, 湘潭 411105;
2. 湖南石油化工职业技术学院, 岳阳 414012)

摘要: 采用改进的固相反应法合成了高性能的锂离子电池正极材料 $LiMn_2O_4$ 。首先, 以廉价的 $MnSO_4$ 为原料, 通过水解-氧化法制备纳米级 Mn_3O_4 前驱体; 然后, 将 Mn_3O_4 和 Li_2CO_3 混合均匀, 在 750 °C 固相反应 20 h, 得到尖晶石型 $LiMn_2O_4$ 。用 X 射线衍射(XRD)和扫描电镜(SEM)对 Mn_3O_4 前驱体和 $LiMn_2O_4$ 样品进行表征, 用充放电测试和循环伏安技术对 $LiMn_2O_4$ 样品进行电化学性能研究。结果表明: 所制备的 $LiMn_2O_4$ 具有完整的尖晶石型结构, 且晶体粒子分布均匀。所制备的 $LiMn_2O_4$ 材料在 3.0~4.4 V 之间, 室温(25 °C)下, 在 0.2C 倍率下首次放电比容量为 130.6 mA·h/g; 在 0.5C 倍率下首次放电比容量为 127.1 mA·h/g, 30 次循环后, 容量仍有 109.5 mA·h/g, 且样品具有较好的高温性能。

关键词: 锂离子电池; 正极材料; 尖晶石 $LiMn_2O_4$; 水解-氧化法; Mn_3O_4 前驱体

中图分类号: TM 912

文献标志码: A

Preparation process and performance of spinel $LiMn_2O_4$ using Mn_3O_4 as precursor

WAGN Ying-ping¹, WANG Xian-you¹, KUI Xiao-shan², WEI Qi-liang¹, YANG Xiu-kang¹,
YANG Shun-yi¹, SHU Hong-bo¹, BAI Yan-song¹, WU Qiang¹

(1. School of Chemistry, Key Laboratory of Environmentally Friendly Chemistry and Applications,
Ministry of Education, Xiangtan University, Xiangtan 411105, China;
2. Hunan Petrochemical Vocational Technology College, Yueyang 414012, China)

Abstract: $LiMn_2O_4$ with high-performance for the application of lithium-ion batteries was successfully synthesized by a modified solid phase reaction route. First, the precursor Mn_3O_4 was prepared by a hydrolyzation -oxidation method using cheap $MnSO_4$ as Mn source. Then, the as-prepared precursor Mn_3O_4 and Li_2CO_3 were mixed homogeneously and calcined at 750 °C for 20 h to obtain spinel $LiMn_2O_4$. The properties of samples were characterized by XRD and SEM, charge-discharge tests and cyclic voltammetry. The results show that the as-prepared $LiMn_2O_4$ has spine structure and exhibits uniform particle size distribution. The initial discharge capacities of the as-prepared $LiMn_2O_4$ are as high as 130.9 mA·h/g at 0.2C and 127.1 mA·h/g at 0.5C in the voltage range of 3.0~4.4 V at 25 °C, especially, the discharge capacity at 30th cycle still keep to be 109.5 mA·h/g at 0.5C. Besides, the as-prepared $LiMn_2O_4$ presents good high temperature performance.

Key words: lithium ion battery; cathode material; spinel $LiMn_2O_4$; hydrolyzation-oxidation method; Mn_3O_4 precursor

基金项目: 国家自然科学基金资助项目(20871101); 科技部科技计划项目(2009GJD20021); 湖南省科技厅计划项目(2010WK4007); 湖南省科技计划项目(2010TC2004); 湖南省自然科学市州联合基金重点资助项目(09JJ8001)

收稿日期: 2011-07-15; 修订日期: 2011-11-25

通信作者: 王先友, 教授, 博士; 电话: 0731-8293061; E-mail: wxianyou@yahoo.com

相比镍氢、镍镉和铅酸电池, 锂离子二次电池具有无记忆效应、能量密度高、工作电压高、循环寿命长的优势, 是性能卓越的新一代绿色环保、可再生的化学能源^[1-2]。正极材料是制造锂离子电池的关键材料之一。目前, 商业化锂离子电池正极材料主要有 $LiCoO_2$ 、尖晶石型 $LiMn_2O_4$ 和 $LiFePO_4$, 其中尖晶石型 $LiMn_2O_4$ 材料具有原材料丰富、价格便宜、无毒、无污染、安全性好等优点, 被认为是最具有发展潜力的锂离子动力电池正极材料之一^[3-6]。研究表明^[7-8], 电极材料的电化学性能与材料结构的完整性、粒径大小和粒度分布以及形貌等物理化学性能密切相关, 而其物理化学性能则主要取决于它们的合成方法。尖晶石型 $LiMn_2O_4$ 材料的合成方法大体上可以分为两大类: 固相合成和湿化学合成。其中固相法是制备锰酸锂材料的传统方法, 具有工艺简单、制备条件容易控制和易于工业化生产等优点, 因而被广泛采用^[9]。

传统固相法多采用电解 MnO_2 (EMD)为锰源制备 $LiMn_2O_4$, 但是 EMD 晶体结构为 γ - MnO_2 , 颗粒分布不均匀, 且含有杂质如 Na^+ 和 SO_4^{2-} 等, 杂质的存在通常会增大 $LiMn_2O_4$ 的电化学阻抗, 且导致储能过程中的可逆容量衰减加剧^[10-11]。近年来, 科学家们考虑用锰的其他氧化物作为锰源来制备尖晶石型 $LiMn_2O_4$, 如 Mn_2O_3 ^[12-13]、 Mn_3O_4 ^[14] 和 γ - $MnOOH$ ^[15] 等。其中 Mn_3O_4 是一种很重要的多功能氧化物, 广泛应用于催化、磁性材料以及空气净化等领域^[16], 目前, 其在锂离子电池正极材料中的应用受到了极大的关注。PU 等^[17]通过控制结晶法制备了 Mn_3O_4 前驱体, 并以 Mn_3O_4 前驱体为锰源, 制备了尖晶石型 $LiMn_2O_4$ 材料, 发现其具有较好的电化学性能, 首次放电比容量为 128 $mA\cdot h/g$, 但该方法的工艺条件控制较苛刻, 难以工业化生产。PARK 等^[18]用超声波法制备了纳米级 Mn_3O_4 , 并与 $LiOH$ 混合, 制备了纳米级的 $LiMn_2O_4$, 超声波法虽然操作简单, 但是规模化生产尚待努力。本文作者改进 Mn_3O_4 的制备工艺路线, 以廉价 $MnSO_4$ 为原料, 提出用水解-氧化法合成 Mn_3O_4 前驱体, 并与 Li_2CO_3 混合, 通过固相反应合成尖晶石型 $LiMn_2O_4$, 并对所合成材料的结构特性和电化学性能进行研究。

1 实验

1.1 前驱体 Mn_3O_4 材料的制备

硫酸锰在氨性介质中水解沉淀: 称取一定量的硫酸锰溶解于 100 mL 蒸馏水中, 在 60 °C 的水浴中搅拌, 逐滴加入浓氨水, 调节 pH=9.5 左右, 得到 $Mn(OH)_2$

沉淀, 冷却后抽滤, 反复洗涤, 直至滤液中检测不到 SO_4^{2-} 。

$Mn(OH)_2$ 氧化制备 Mn_3O_4 前驱体: 将上述滤饼放入烧杯中, 加入 100 mL 蒸馏水, 置于 50 °C 的水浴锅中, 搅拌, 加入 45 mL 乙醇作为分散剂; 逐滴加入适量的 10% H_2O_2 溶液, 控制滴加速度, 并不断搅拌至 H_2O_2 加完即止, 冷却后抽滤, 洗涤, 干燥(在 120 °C 干燥箱中, 时间为 6 h), 即得 Mn_3O_4 前驱体。

1.2 尖晶石型 $LiMn_2O_4$ 的制备

按 $n(Li):n(Mn)=1:2$ 称取一定量的 Li_2CO_3 和制备的 Mn_3O_4 前驱体, 置于研钵中, 加入乙醇, 将原料调制成为流变相, 研磨混合均匀。待乙醇完全挥发后, 将样品装入坩埚中, 然后置于马弗炉内, 以 5 °C/min 的速率, 升温至 750 °C, 焙烧 20 h, 自然冷却至室温, 即得尖晶石型 $LiMn_2O_4$ 材料, 标记为 S-1。作为对比, 以 EMD 为锰源, Li_2CO_3 为锂源, 在同样条件下反应得到尖晶石型 $LiMn_2O_4$ 材料, 标记为 S-2。

1.3 材料结构与形貌的表征测试

采用日本理学 D/max-3C 型 X 射线衍射仪(XRD)对样品进行物相分析, 使用 $Cu K_\alpha$ 针, $\lambda=0.154\ 056\ nm$, 石墨单色器, 管电流 100 mA, 管电压 50 kV, 扫描角度为 10°~80°(2θ)。用日本 JEOL 公司 JSM-5600LV 型扫描电子显微镜(SEM)观察样品的粒径和形貌。

1.4 材料的电化学性能测试

以 NMP 为溶剂, 将 $LiMn_2O_4$ 、乙炔黑、石墨和 PVDF 按质量比 80:5:5:10 混合均匀成正极浆液, 涂覆在铝箔上, 120 °C 真空干燥 12 h。以 Celgard2400 聚丙烯多孔膜为隔膜, 1 mol/L $LiPF_6$ 的碳酸乙烯酯(EC)和二乙基碳酸酯(DEC)混合液($V(EC):V(DEC)=1:1$, 韩国三星公司)为电解液, 金属锂片为负极, 在充满氩气的手套箱内组装成扣式电池。在深圳新威尔电子有限公司生产的 NEWARE 电池测试系统进行充放电性能测试, 电压测试范围为 3.0~4.4 V; 在上海辰华仪器公司生产的 CHI660 电化学工作站进行循环伏安测试, 循环伏安测试电压范围为 3.0~4.4 V, 扫速为 0.05 mV/s。

2 结果与讨论

2.1 前驱体 Mn_3O_4 材料的物相分析

通过水解-氧化法制备 Mn_3O_4 前驱体, 其反应原理如下:

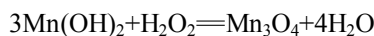
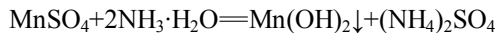


图 1 所示为 Mn_3O_4 样品的 XRD 谱。从图 1 中可以看出, 制备的 Mn_3O_4 样品的各衍射峰位置与标准图谱(JCPDS#80-0382)中各峰的位置基本吻合, 为四方晶系结构, 其中 5 个强峰的位置、晶面指数和半峰宽分别为 $2\theta=18.014^\circ$, (101), $d=0.486$ nm; $2\theta=29.072^\circ$, (112), $d=0.307$ nm; $2\theta=32.546^\circ$, (103), $d=0.275$ nm; $2\theta=36.279^\circ$, (211), $d=0.247$ nm; $2\theta=60.029^\circ$, (224), $d=0.154$ nm。各衍射峰的 d 值和相对强度与标准卡片(JCPDS#80-0382)的数据基本一致, 证明产物为 Mn_3O_4 。表 1 所列为所制备的 Mn_3O_4 样品及标准谱的晶格常数, Mn_3O_4 样品的参数值略小于标准参数值, 但差别不大, 在误差范围内。此外, 从图谱上可以看到, Mn_3O_4 样品的衍射峰尖锐, 说明 Mn_3O_4 样品的结晶度高。图 2 所示为制备的 Mn_3O_4 样品的 SEM 像。从图 2 中可以看出, 通过水解-氧化两步法所制备的 Mn_3O_4 前驱体颗粒分布均匀, 且颗粒较小, 为纳米级。纳米级的前驱体粒子可以与 Li_2CO_3 充分接触, 混合均匀, 使固相反应进行得更充分, 从而形成粒径分布均匀的 LiMn_2O_4 。

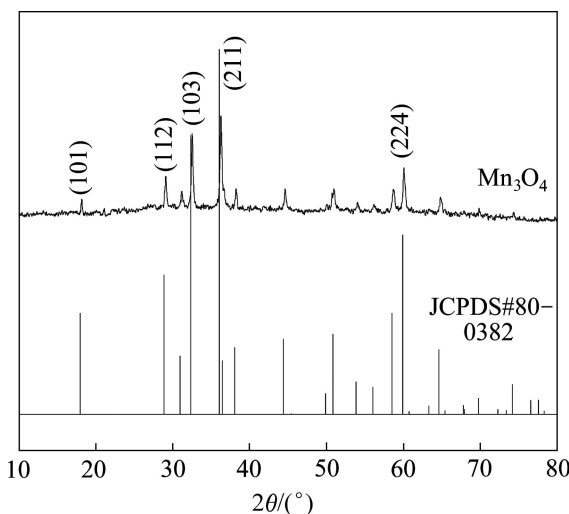


图 1 Mn_3O_4 样品的 XRD 谱

Fig. 1 XRD patterns of Mn_3O_4 sample

表 1 Mn_3O_4 样品的晶格常数

Table 1 Lattice parameters of Mn_3O_4 sample

Sample	$a/\text{\AA}$	$c/\text{\AA}$	$V/\text{\AA}^3$
JCPDS#80-0382	5.765	9.442	313.81
Mn_3O_4	5.746	9.411	310.71

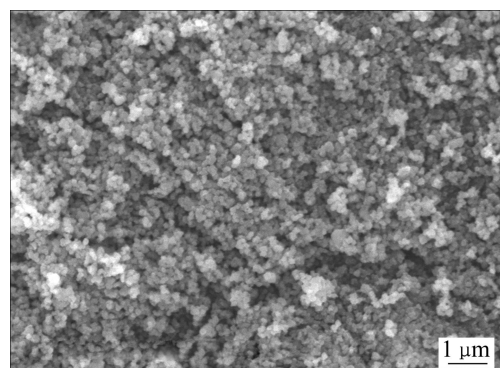


图 2 Mn_3O_4 样品的 SEM 像

Fig. 2 SEM image of Mn_3O_4 sample

2.2 LiMn_2O_4 样品的结构和形貌分析

图 3 所示为 LiMn_2O_4 的 XRD 谱。从图 3 中可以看出, LiMn_2O_4 样品的衍射峰均与尖晶石型 LiMn_2O_4 的标准图谱(JCPDS#88-1749)的衍射峰完全吻合, 没有出现任何其它杂质峰, 表明材料具有结晶完整的尖晶石结构, 属于 $Fd\bar{3}m$ 面心立方结构。尖晶石结构的 LiMn_2O_4 是以氧原子的立方堆积为骨架, 其中 Li^+ 占据四面体的 $8a$ 位置, Mn^{4+} 占据八面体的 $16d$ 位置, 在立方晶胞间隔的像限中形成四面体簇。空的八面体 $16c$ 位形成了 1 个近似三维结构的共边八面体位, 所以 $[\text{Mn}_2\text{O}_4]$ 阵列被认为是密堆积的主体框架结构, 其中四面体晶格 $8d$ 、 $48f$ 和八面体晶格 $16c$ 共面而构成互通的三维离子通道^[19]。从图 3 中还可以看出, 样品 S-1 的衍射峰比较尖锐, 而样品 S-2 的衍射峰较为宽泛, 说明制备的 LiMn_2O_4 样品 S-1 具有较高的结晶度, 结晶度越高, 材料的循环性能就越好。表 2 所列为基于 5 个强峰(111)、(311)、(400)、(511)和(440)计算出

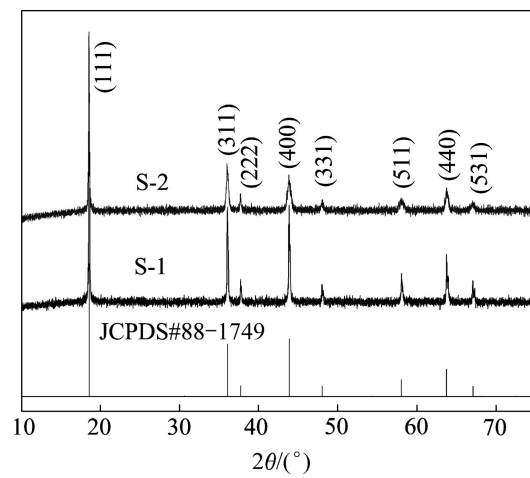


图 3 LiMn_2O_4 样品的 XRD 谱

Fig. 3 XRD patterns of LiMn_2O_4 samples

表 2 $LiMn_2O_4$ 样品的晶格常数

Table 2 Lattice parameters of $LiMn_2O_4$ samples obtained by Rietveld refinement

Sample	$a/\text{\AA}$	$V/\text{\AA}^3$
JCPDS#88-1749	8.245	560.59
S-1	8.245	560.50
S-2	8.240	559.43

的 $LiMn_2O_4$ 的晶格常数。由表 2 可知, 用 Mn_3O_4 为锰源制备的 $LiMn_2O_4$ 样品 S-1 和用 EMD 为锰源制备的 $LiMn_2O_4$ 样品 S-2 的晶格常数均与标准值相接近, 且样品 S-1 的晶格常数比样品 S-2 的略有增大。尖晶石型 $LiMn_2O_4$ 具有三维隧道, 适于锂离子在充放电过程中的脱嵌, 当晶格常数 a 较大时, 三维隧道相应增大, 锂离子脱嵌更容易, 因而样品 S-1 的电化学性能更好。

$LiMn_2O_4$ 样品的 SEM 像如图 4 所示。由图 4 可以看出, $LiMn_2O_4$ 具有典型的立方结构, 且样品的颗粒均较小。以 Mn_3O_4 为锰源制备的 $LiMn_2O_4$ 样品 S-1 晶体颗粒分布均匀、粒径均一, 且粒子的形貌清晰、规则, 晶界明显, 无软团聚现象。而以 EMD 为锰源制备的 $LiMn_2O_4$ 样品 S-2, 颗粒不均匀, 有团聚现象出现, 粒径分布范围较广。这是由于样品 S-1 所采用的锰源 Mn_3O_4 前驱体颗粒大小一致, 且分散均匀, 易于

和锂源充分混合均匀, 形成颗粒分布均匀的 $LiMn_2O_4$ 材料。因此, 以氧化-还原法制备的 Mn_3O_4 为前驱体制备 $LiMn_2O_4$ 在很大程度上改善了其产品颗粒分布的均匀性。

2.3 样品的电化学性能分析

图 5 所示为 $LiMn_2O_4$ 样品在 $0.2C$ 倍率下的首次充放电曲线。从图 5 中可见, 样品 S-1 和 S-2 的首次充放电曲线均有两个明显的充放电平台, 表明锂的脱嵌是分两步进行的^[20-21], 主要是由于在 $LiMn_2O_4$ 的正尖晶石型结构中, 占据 $8a$ 位置的 Li^+ 首先一部分从四面体的 $8a$ 位置嵌入(或脱出), 此时克服的是 Li^+ 之间的相互作用力, 然后另一部分 Li^+ 从四面体余下的 $8a$ 位置嵌入(或脱出), 每个嵌入(或脱出) Li^+ 将受到相邻 4 个 Li^+ 的相互作用, 它们之间的相互作用导致能量的分裂, 所以锂的嵌入和脱出各出现两个稳定的电压平台。在 $0.2C$ 倍率下, 以 Mn_3O_4 为锰源制备的样品 S-1 的首次充电的平台为 4.02 V 和 4.15 V, 放电平台为 3.97 V 和 4.11 V, 首次放电比容量高达 $130.6 \text{ mA}\cdot\text{h/g}$, 而以 EMD 为锰源制备的样品 S-2 的首次充电平台为 4.00 V 和 4.17 V, 放电平台为 3.93 V 和 4.09 V, 首次放电比容量为 $119.0 \text{ mA}\cdot\text{h/g}$ 。相比而言, 样品 S-1 不仅具有较高的首次放电比容量, 且放电电压较高, 放电平台更为平坦。

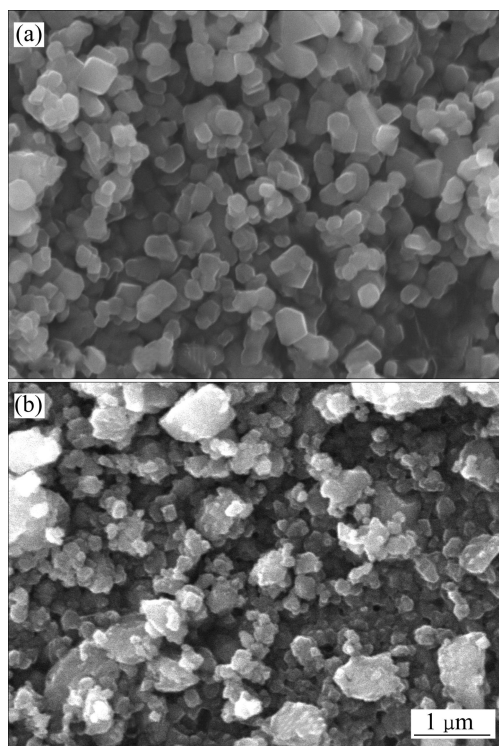
图 4 $LiMn_2O_4$ 样品的 SEM 像

Fig. 4 SEM images of $LiMn_2O_4$ samples: (a) S-1; (b) S-2

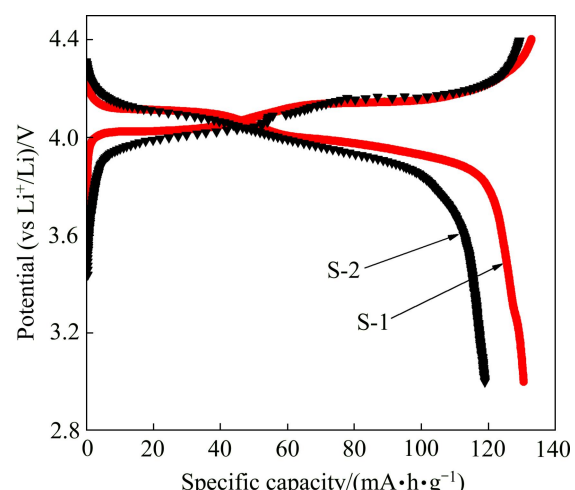
图 5 $LiMn_2O_4$ 样品在 $0.2C$ 倍率下首次充放电曲线

Fig. 5 Initial charge-discharge curves of $LiMn_2O_4$ samples at $0.2C$

$LiMn_2O_4$ 样品的循环性能如图 6 所示。在室温(25°C)下, 样品 S-1 和 S-2 在不同倍率($0.5C$ 、 $1C$ 、 $2C$)下的循环性能如图 6(a)、(b)和(c)所示。从图 6(a)、(b)和(c)中可以看出, 在 $0.5C$ 、 $1C$ 和 $2C$ 倍率下, 样品 S-1

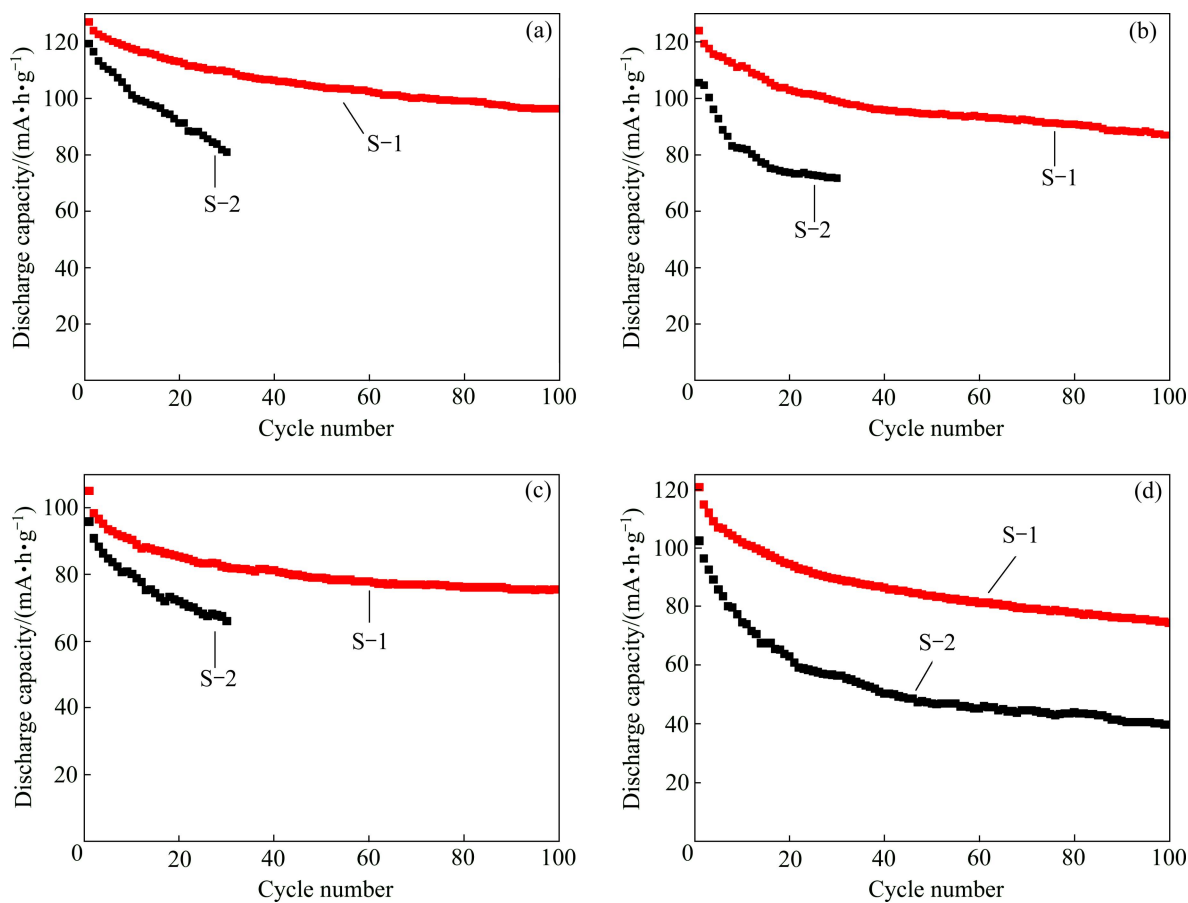
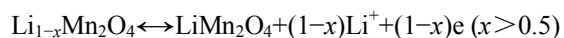


图 6 不同放电倍率下样品的循环性能

Fig. 6 Cycle performance of samples at different discharge rates: (a) $0.5C$, $25\text{ }^{\circ}\text{C}$; (b) $1C$, $25\text{ }^{\circ}\text{C}$; (c) $2C$, $25\text{ }^{\circ}\text{C}$; (d) $1C$, $55\text{ }^{\circ}\text{C}$

的首次放电比容量分别为 127.1 、 124.0 和 105.1 $\text{mA}\cdot\text{h/g}$, 30 次循环之后为 109.5 、 99.0 和 82.1 $\text{mA}\cdot\text{h/g}$, 100 次循环之后, 比容量仍有 96.2 、 86.9 和 75.5 $\text{mA}\cdot\text{h/g}$; 样品 S-2 的首次放电比容量分别为 119.3 、 105.3 和 95.9 $\text{mA}\cdot\text{h/g}$, 30 次循环之后为 80.9 、 71.7 和 65.9 $\text{mA}\cdot\text{h/g}$ 。图 6(d)所示为 LiMn_2O_4 样品在 $1C$ 倍率下的高温($55\text{ }^{\circ}\text{C}$)循环性能曲线。由图 6(d)可知, 在 $55\text{ }^{\circ}\text{C}$ 时, $1C$ 倍率下, 样品 S-1 的首次放电容量为 120.7 $\text{mA}\cdot\text{h/g}$, 100 次循环之后, 容量仍有 74.7 $\text{mA}\cdot\text{h/g}$; 而样品 S-2 的首次放电容量为 102.3 $\text{mA}\cdot\text{h/g}$, 100 次循环之后, 容量只有 39.6 $\text{mA}\cdot\text{h/g}$ 。由此可见, 样品 S-1 在常温下具有较高的首次放电比容量、较好的倍率性能和循环稳定性, 在高温下, 同样具有良好的循环稳定性。这是由于样品 S-1 结晶度高, 颗粒分布较均匀。如果正极材料粉体的粒度分布不均匀, 在进行充放电循环时, 容易造成小颗粒过放, 以及大颗粒局部成分不均匀造成较大内应力, 从而致使电池的容量衰减^[22]。因此, 以 Mn_3O_4 为锰源制备的 LiMn_2O_4 样品 S-1 在很大程度上提高了锂离子电池的循环稳定性。

图 7 所示为 LiMn_2O_4 样品在电压为 $3.0\sim4.4\text{ V}$, 扫描速率为 0.05 mV/s 时的伏安曲线。从图 7 中可以看到, 在扫描电压范围内, LiMn_2O_4 样品均有两个明显的氧化还原峰。样品 S-1 的氧化峰电位分别为 4.18 和 4.05 V , 还原峰电位分别为 4.07 和 3.94 V , 两对氧化峰与还原峰间的电位差均为 0.11 V ; 样品 S-2 的氧化峰电位分别为 4.19 和 4.07 V , 还原峰电位分别为 4.05 和 3.92 V , 两对氧化峰与还原峰间的电位差分别为 0.14 和 0.15 V 。样品 S-1 的两对氧化还原峰和样品 S-2 的两对氧化还原峰之间的电位差相差不大, 由此可知, 用 Mn_3O_4 为锰源制备的 LiMn_2O_4 样品 S-1 和用 EMD 为锰源制备的 LiMn_2O_4 样品 S-2 具有相同的脱嵌锂机理, 锂离子的脱出和嵌入是分两步进行的, 即^[23]



从图 7 中还可以看出, 样品 S-1 的氧化还原峰较样品 S-2 的尖锐。通过对样品 S-1 和 S-2 曲线所包围的面积进行积分, 可以发现样品 S-1 的氧化峰面积和

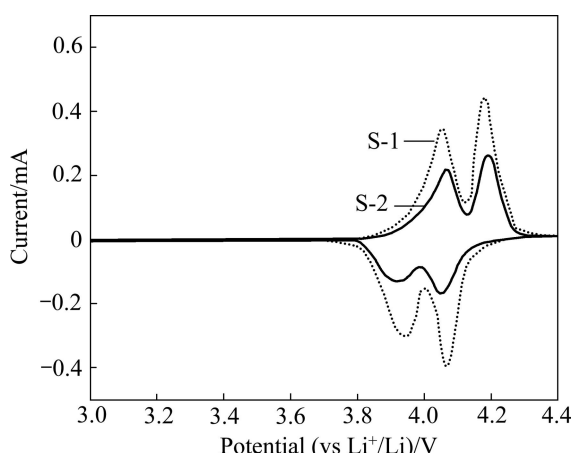


图7 样品在 0.05 mV/s 扫描速度下的循环伏安曲线

Fig. 7 Cyclic voltammograms of samples at scan rate of 0.05 mV/s

还原峰面积基本相当; 而样品 S-2 氧化峰的面积大于还原峰的面积, 表明样品 S-1 具有较高的充放电效率, 这主要是由于样品 S-1 的晶体粒子分布均匀, 粒径较小, 锂离子的扩散路径短, 扩散阻力小。

3 结论

1) 与传统固相法制备的 $LiMn_2O_4$ 材料相比, 采用改进固相法合成的 $LiMn_2O_4$ 具有较高的结晶度, 且晶体颗粒分布均匀、粒径均一。

2) 在室温时, 改进固相法制备的 $LiMn_2O_4$ 材料表现出具有较高的首次放电容量、较好的循环性能和良好的倍率性能, 在 0.5C 倍率下首次放电比容量为 127.1 mA·h/g, 100 次循环之后, 容量仍有 96.2 mA·h/g; 在 1C 倍率下首次放电容量为 124.0 mA·h/g, 100 次循环后容量为 86.9 mA·h/g。高温(55 °C)下, 该材料仍然具有较好的电化学性能, 在 1C 倍率下首次放电比容量为 120.7 mA·h/g。

3) 与传统固相法制备的 $LiMn_2O_4$ 材料相比, 采用改进固相法制备的 $LiMn_2O_4$ 材料不仅具有较好的形貌, 且放电电压较高, 放电平台更为平坦, 电化学性能明显提高。

REFERENCES

- [1] TARASCON J M, ARMAND M. Issues and challenges facing rechargeable lithium batteries[J]. Nature, 2001, 414(6861): 359–367.
- [2] 李 荣, 陈昌国, 梁国明, 余丹梅. 锂离子电池正极材料 $Li_xMn_2O_4$ 电子结构的量子化学 DV-X_a 研究[J]. 中国有色金属学报, 2004, 14(5): 865–870.
LI Rong, CHEN Chang-guo, LIANG Guo-ming, YU Dan-mei. Quantum chemical DV-X_a study on electronic structure of electrode material $Li_xMn_2O_4$ for lithium ion battery[J]. The Chinese Journal of Nonferrous Metals Society, 2004, 14(5): 865–870.
- [3] FERGUS J W. Recent developments in cathode materials for lithium ion batteries[J]. Journal of Power Sources, 2010, 195(4): 939–954.
- [4] KANG H K, AHN W, LEE S G, HAN K S, SONG J H, KWON O H, KANG E Y. Eutectic self-mixing method for the preparation of $LiMn_2O_4$ without any artificial mixing procedures[J]. Journal of Power Sources, 2006, 163(1): 166–172.
- [5] 王先友, 易四勇, 肖琼. 大容量锰酸锂动力电池的研制[J]. 湘潭大学自然科学学报, 2009, 31(2): 99–103.
WANG Xian-you, YI Si-yong, XIAO Qiong. The design and manufacture of high capacity Li-ion power battery with $LiMn_2O_4$ cathode[J]. Natural Science Journal of Xiangtan University, 2009, 31(2): 99–103.
- [6] CHEN Ze-hua, HUANG Ke-long, LIU Su-qin, WANG Hai-yan. Preparation and characterization of spinel $LiMn_2O_4$ nanorods as lithium-ion battery cathodes[J]. Transactions of Nonferrous Metals Society of China, 2010, 20(12): 2309–2313.
- [7] CABANA J, VALDES SOLIS T, PALACIN M R, ORO SOLE J, FUERTES A, MARBAN G, FUERTES A B. Enhanced high rate performance of $LiMn_2O_4$ spinel nanoparticles synthesized by a hard-template route[J]. Journal of Power Sources, 2007, 166(2): 492–498.
- [8] MOHAN RAO M, LIEBENOW C, JAYALAKSHMI M, WULFF H, GUTH U, SCHOLZ F. High-temperature combustion synthesis and electrochemical characterization of $LiNiO_2$, $LiCoO_2$ and $LiMn_2O_4$ for lithium-ion secondary batteries[J]. Journal of Solid State Electrochemistry, 2001, 5(5): 348–354.
- [9] 蒋庆来, 胡国荣, 彭忠东, 杜柯, 刘业翔. 二氧化锰原料对固相法制备尖晶石锰酸锂性能的影响[J]. 功能材料, 2010, 41(9): 1485–1489.
JIANG Qing-lai, HU Guo-rong, PENG Zhong-dong, DU Ke, LIU Ye-xiang. Influence of MnO_2 materials on performance of spinel $LiMn_2O_4$ prepared by solid state method[J]. Journal of Functional Materials, 2010, 41(9): 1485–1489.
- [10] GUO Hua-jun, LI Qi-hou, HE Fang-yong, LI Xin-hai, WANG Zhi-xing, PENG Wen-jie. The role of sulfate ions coming from source materials on the properties of $Li_{1.05}Mn_2O_4$ cathode for lithium ion batteries[J]. Materials Chemistry and Physics, 2010, 124(2/3): 922–926.
- [11] GUO Hua-jun, LI Xiang-qun, HE Fang-yong, LI Xin-hai,

- WANG Zhi-xing, PENG Wen-jie. Effects of sodium substitution on properties of LiMn₂O₄ cathode for lithium ion batteries[J]. Transactions Nonferrous Metals Society of China, 2010, 20(6): 1043–1048.
- [12] JU S H, KIM D Y, JO E B, KANG Y C. LiMn₂O₄ powers prepared from nano-sized manganese oxide powders[J]. Journal of the Ceramic Society of Japan, 2007, 115(4): 241–244.
- [13] 何向明, 蒲薇华, 蔡 砚, 姜长印, 万春荣, 夏定国. 基于控制结晶法制备的锂离子电池正极材料球形锰酸锂[J]. 中国有色金属学报, 2005, 15(9): 1390–1395.
- HE Xiang-ming, PU Wei-hua, CAI Yan, JIANG Chang-yin, WAN Chun-rong, XIA Ding-guo. Preparation of spherical LiMn₂O₄ for Li-ion batteries based on controlled crystallization[J]. The Chinese Journal of Nonferrous Metals Society of China, 2005, 15(9): 1390–1395.
- [14] LEE K S, MYUNG S T, BANG H J, CHUNG S, SUN Y K. Co-precipitation synthesis of spherical Li_{1.05}M_{0.05}Mn_{1.9}O₄ (M=Ni, Mg, Al) spinel and its application for lithium secondary battery cathode[J]. Electrochimica Acta, 2007, 52(16): 5201–5206.
- [15] BAO Shu-juan, LI Chang-ming, LI Hu-lin, LUONG H T. Morphology and electrochemistry of LiMn₂O₄ optimized by using different Mn-sources[J]. Journal of Power Sources, 2007, 164(2): 885–889.
- [16] BERBENNI V, MARINI A. Solid state synthesis of lithiated manganese oxides from mechanically activated Li₂CO₃-Mn₃O₄ mixtures[J]. Journal of Analytical and Applied Pyrolysis, 2003, 70(2): 437–456.
- [17] PU Wei-hua, HE Xiang-ming, ZHANG Guo-yun, JIANG Chang-yin, WAN Chun-rong, ZHANG Shi-chao. Preparation of spherical spinel LiMn₂O₄ cathode material for lithium ion batteries[J]. Key Engineering Materials, 2007, 336/338: 477–480.
- [18] PARK J P, KIM S K, PARK J Y, HWANG C H, CHOI M H, KIM J E, OK K Mi, KWAK H Y, SHIM Il-W. Syntheses of Mn₃O₄ and LiMn₂O₄ nanoparticles by a simple sonochemical method[J]. Materials Letters, 2009, 63(26): 2201–2204.
- [19] 朱彦荣, 夏继才, 伊廷锋, 岳彩波, 诸荣孙, 贾志刚. 温度对LiMn₂O₄ 正极材料嵌锂动力学的影响[J]. 电池工业, 2010, 15(4): 202–204.
- ZHU Yan-rong, XIA Ji-cai, YI Ting-feng, YUE Cai-bo, ZHU Rong-sun, JIA Zhi-gang. Effect of temperature on kinetics of lithium ion insertion for Li-ion battery positive electrode material[J]. Chinese Battery Industry, 2010, 15(4): 202–204.
- [20] YI Ting-feng, HAO Chun-li, YUE Cai-bo, ZHU Rong-sun, SHU Jie. A literature review and test: Structure and physicochemical properties of spinel LiMn₂O₄ synthesized by different temperatures for lithium ion battery[J]. Synthetic Metals, 2009, 159(13): 1255–1260.
- [21] 薛 云, 陈 野, 张密林. 锰酸锂的制备及其在中性电解液中的电容性能[J]. 硅酸盐学报, 2006, 34(12): 1528–1531.
- XUE Yun, CHEN Ye, ZHANG Mi-lin. Preparation and capacitive performance of lithium manganate in neutral electrolyte solutions[J]. Journal of the Chinese Ceramic Society, 2006, 34(12): 1528–1531.
- [22] 李智敏, 罗 发, 苏晓磊, 朱冬梅, 周万城. LiMn₂O₄ 正极材料的合成及电化学性能[J]. 稀有金属材料与工程, 2007, 36(8): 1382–1385.
- LI Zhi-min, LUO Fa, SU Xiao-lei, ZHU Dong-mei, ZHOU Wan-cheng. Synthesis and electrochemical properties of LiMn₂O₄ cathode material[J]. Rare Metal Materials and Engineering, 2007, 36(8): 1382–1385.
- [23] 蔡 羽, 朱金娥, 李董轩, 赵胜利. 融合剂量和锂锰比对尖晶石 LiMn₂O₄ 性能的影响[J]. 热加工工艺, 2009, 38(16): 59–62.
- CAI Yu, ZHU Jin-e, LI Dong-xuan, ZHAO Sheng-li. Effect of chelator content and Li/Mn ratio on properties of spinel LiMn₂O₄[J]. Hot Working Technology, 2009, 38(16): 59–62.

(编辑 李艳红)